

## บทที่ 1

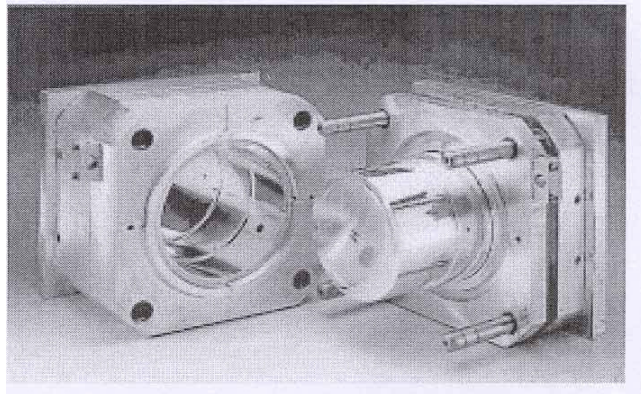
### บทนำ

#### 1.1 ความสำคัญและที่มาของหัวข้อวิจัย

พลาสติกมีบทบาทสำคัญต่อชีวิตประจำวันของมนุษย์มากขึ้น สิ่งต่างๆ รอบตัวเรา ล้วนมีส่วนประกอบของพลาสติกแทบทั้งสิ้น นับตั้งแต่ของใช้ในครัวเรือน ของเด็กเล่น เครื่องมือ เครื่องใช้ เสื้อผ้า รองเท้า คอมพิวเตอร์ เฟอร์นิเจอร์ ชิ้นส่วนอุปกรณ์ต่างๆ ของอาคารบ้านเรือน รถ ยนต์ เรือ เครื่องบิน เป็นต้น [พิชิต เลี่ยมพิพัฒน์, 2542] ในกระบวนการผลิตชิ้นส่วนจากพลาสติกสิ่ง สำคัญที่ควรคำนึงถึงจากการเลือกใช้ชนิดของพลาสติกแล้ว การออกแบบและการเลือกใช้แม่ พิมพ์นีดพลาสติก (Injection Mold) ก็มีความสำคัญเช่นกัน ในการผลิตชิ้นงานให้ได้คุณภาพตามที่ ตลาดต้องการ ในการออกแบบแม่พิมพ์จะต้องคำนึงถึงขนาดรูปทรงของชิ้นส่วนต่างๆ เพื่อให้แม่ พิมพ์สามารถใช้งานได้ดี มีความแข็งแรงทนทาน ดังนั้นจึงมีความจำเป็นที่จะต้องเลือกใช้วัสดุ สำหรับทำแม่พิมพ์ให้เหมาะสม โดยทั่วไปวัสดุที่ใช้ทำแม่พิมพ์นีดพลาสติกมักจะทำจากวัสดุจำพวก เหล็ก แต่ในปัจจุบันอุตสาหกรรมพลาสติกได้นำเอาอะลูมิเนียมผสมความแข็งแรงสูง (High Strength Aluminum Alloy) มาใช้งานแทนแม่พิมพ์ที่ทำจากเหล็กเพิ่มมากขึ้น เช่น งานนีดพลาสติก ดังแสดงในรูปที่ 1.1

โลหะอะลูมิเนียมผสมความแข็งแรงสูงที่นำมาใช้ทำแม่พิมพ์นีดพลาสติกมีข้อดี หลายประการคือ

1. ต้นทุนในการจัดเก็บหรือเคลื่อนย้ายแม่พิมพ์อะลูมิเนียมต่ำกว่า เพราะมีน้ำหนัก เบา
2. อะลูมิเนียมมีความสามารถในการขึ้นรูปได้ดีเยี่ยม โดยใช้เครื่องมือตัดทั่วไป สามารถใช้ความเร็วตัดได้สูงกว่า เครื่องมือกลึงหรือต่ำกว่าการขึ้นรูปเหล็ก ทำให้ลดเวลาและต้น ทุนในการขึ้นรูป
3. อะลูมิเนียมมีค่าการนำความร้อนสูง แม่พิมพ์ที่ทำจากอะลูมิเนียมจึงมีการ กระจายความร้อนได้ดี อุณหภูมิของแม่พิมพ์เย็นตัวได้เร็วทำให้สามารถลดระยะเวลาในการต่อ ของการนีดพลาสติก



**รูปที่ 1.1** ตัวอย่างแม่พิมพ์งานฉีดพลาสติกทำจากโลหะอะลูมิเนียมความแข็งแรงสูง

[<http://www.bucorp.com>]

4. อะลูมิเนียมผสม (Al-Zn-Mg-Cu) เกรด 7075-T651 มีความแข็งแรงใกล้เคียงกับเหล็กกล้าหัวไปล้อ มีค่าโมดูลัสของความยืดหยุ่นต่ำ (1 ใน 3 ของเหล็ก) ความแกร่งต่ำกว่าเหล็ก แต่สามารถเพิ่มผนังของแม่พิมพ์ให้มีความหนาขึ้นได้ เมื่อเปรียบเทียบกับเหล็กแม่พิมพ์ที่ทำจากอะลูมิเนียมผสมสามารถลดน้ำหนักลงได้ถึง 50%

5. การขึ้นรูปอะลูมิเนียมผสมโดยวิธีการกัดกร่อนด้วยไฟฟ้า (Electro Erosion) สามารถทำได้รวดเร็วกว่าเหล็ก 2 - 4 เท่า

6. อะลูมิเนียมผสมสามารถผลิตโดยวิธีการรีดเป็นแผ่นได้หนาถึง 300 มม. มีรูปทรงสมมาตรระหว่างและหลังการรีด ซึ่งเหมาะสมสำหรับผลิตแม่พิมพ์ [Altenpohl, 1998]

การใช้อลูมิเนียมผสมทำเป็นแม่พิมพ์สำหรับฉีดพลาสติกมีข้อดีหลายประการดังที่กล่าวมาแล้วข้างต้น อย่างไรก็ตามอะลูมิเนียมผสมมีข้อจำกัดในการใช้งานที่อุณหภูมิสูงๆ กล่าวคือที่อุณหภูมิปักต่ออะลูมิเนียมผสมความแข็งแรงสูง จะมีความแข็งแรงลดลงด้วยการดึงสูงสุด (Ultimate Tensile Strength) ประมาณ 540 MPa แต่เมื่ออุณหภูมิสูงขึ้น ความแข็งแรงจะลดลง ทำให้เกิดการเปลี่ยนรูปแบบพลาสติกและชิ้นงานเกิดการเสียรูป ดังนั้นการศึกษาวิจัยถึงพฤติกรรมการเปลี่ยนรูปแบบพลาสติก หรือการคืนของโลหะอะลูมิเนียมผสมจึงมีความสำคัญ และเป็นประโยชน์ต่อการออกแบบและเลือกใช้อลูมิเนียมผสมที่ใช้ทำเป็นแม่พิมพ์สำหรับฉีดพลาสติกได้ถูกต้องและมีประสิทธิภาพมากยิ่งขึ้น

## 1.2 ทฤษฎีและหลักการ

### 1.2.1 อะลูมิเนียมและอะลูมิเนียมผสม (Aluminum and Aluminum Alloys)

อะลูมิเนียมจัดเป็นธาตุที่พบมากชนิดหนึ่งบนผิวโลกประมาณ 8% ของพบระดับกระจายอยู่ทั่วไป ส่วนใหญ่จะอยู่ในรูปของออกไซด์ ( $Al_2O_3$ ) ซึ่งจะประปนอยู่กับออกไซด์ของซิลิคอน ( $SiO_2$ ) และเหล็ก แร่อะลูมิเนียมที่สามารถนำมาลุกลงเพื่อผลิตโลหะอะลูมิเนียมจะเป็นแร่ที่มีปริมาณซิลิคอนออกไซด์ต่ำ ได้แก่ แร่บauxite (Bauxite)

สมบัติทั่วไปของอะลูมิเนียมจัดเป็นโลหะที่มีน้ำหนักเบา มีความด้านทานต่อการเป็นสนิม มีความแข็งแรงอยู่ในเกณฑ์ปานกลาง แต่มีความเหนียวสูงสามารถนำไปใช้งานได้อย่างกว้างขวางแทนเหล็กและทองแดง ได้ในหลายๆ ด้านของงานวิศวกรรมและอุตสาหกรรม อะลูมิเนียมมีสมบัติทางด้านหล่อหลอมที่ดี โดยมีอุณหภูมิหลอมเหลวต่ำ สามารถรวมตัวกับโลหะอื่นๆ เป็นโลหะผสมได้ง่าย มีความสามารถในการไหลอยู่ในเกณฑ์สูง สามารถหล่อหลอมได้ง่าย ข้อเดียวของอะลูมิเนียมมีอยู่บ้างเหมือนกัน โดยเฉพาะอะลูมิเนียมมีข้อบกพร่องการขีดหยุ่นต่ำ (Elastic Limit) ทำให้การใช้งานถูกจำกัดขอบเขตไปมาก

#### สมบัติทางฟิสิกส์

น้ำหนักต่อต่ำ	26.97
โครงสร้างผลึก (Crystal Structure)	FCC
ความหนาแน่น ( $20^{\circ}C$ )	$2.70 \text{ g/cm}^3$
อุณหภูมิหลอมเหลว	$658^{\circ}C$
จุดเดือดคล้ายเป็นไออก (Boiling Point)	$1,800^{\circ}C$
ความร้อนจำเพาะ ( $0-100^{\circ}C$ )	$0.2259 \text{ Cal/g}^{\circ}C$
ความร้อนแฝงของการหลอมละลาย	93 Cal/g
อัตราการหดตัวเมื่อแข็งตัว (Solidification Shrinkage)	6.6 %
สัมประสิทธิ์การขยายตัว ( $20^{\circ}C$ )	$23.8 \cdot 10^{-6}/^{\circ}C$
ความด้านทานจำเพาะ ( $20^{\circ}C$ )	2.699 microhm.cm
สภาพการนำความร้อน ( $20^{\circ}C$ )	$0.52 \text{ Cal.cm}^2.^{\circ}C.\text{sec}$

### สมบัติเชิงกล

ความแข็งแรงการดึง (Tensile Strength)	8 - 10 kg/mm <sup>2</sup>
พิกัดความยืดหยุ่น (Elastic Limit)	3 kg/mm <sup>2</sup>
เปอร์เซ็นต์การยืดตัว (Percent Elongation)	40 - 45 %
ความแข็ง (Hardness)	16 - 20 HB
โมดูลัสของความยืดหยุ่น (Modulus of Elasticity)	7,800 kg/mm <sup>2</sup>

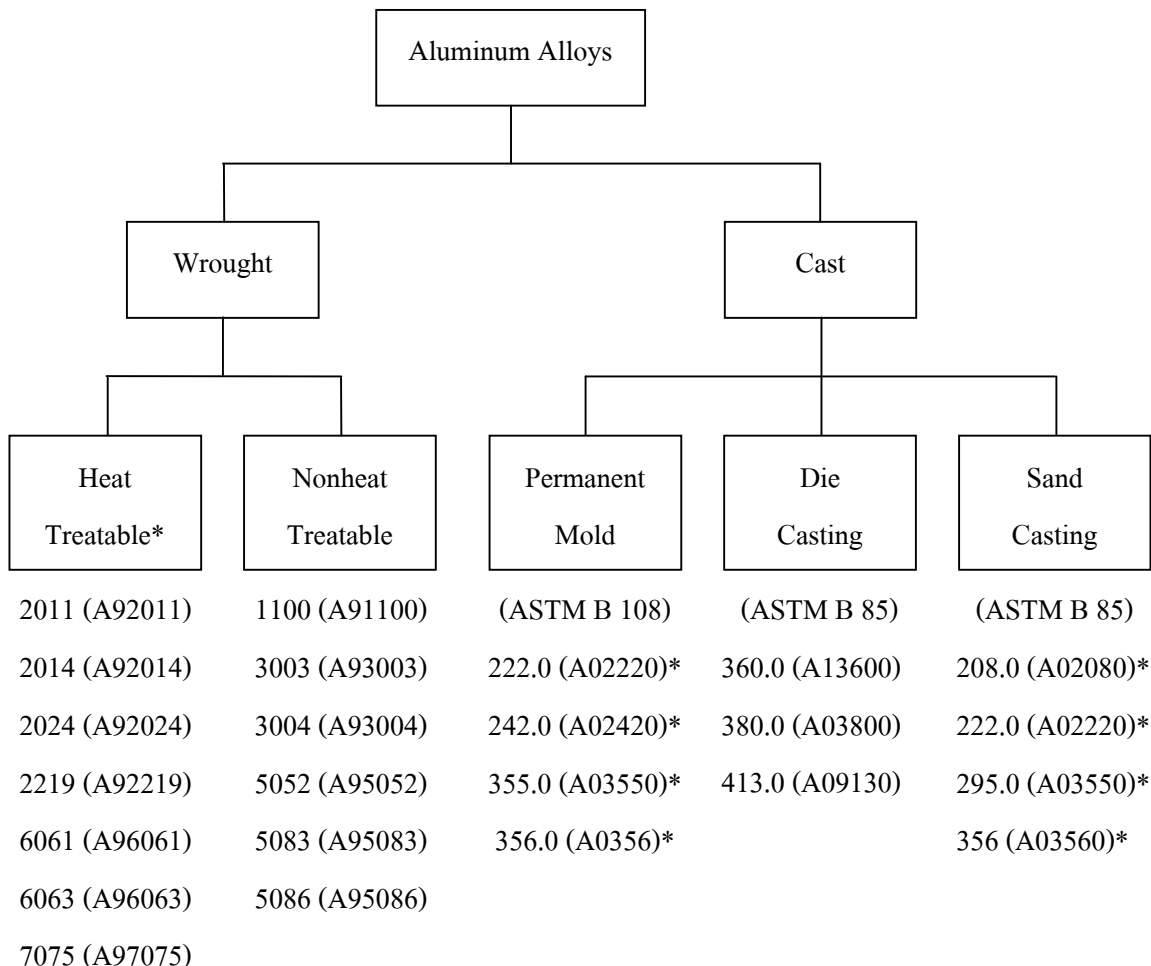
#### 1.2.2 การจำแนกประเภทของอะลูมิเนียมผสม

โลหะอะลูมิเนียมสามารถ分隔成 โลหะอื่นๆ ได้หลายชนิด เช่น โลหะผสม อะลูมิเนียม-ทองแดง อะลูมิเนียม-ซิลิคอน อะลูมิเนียม-แมกนีเซียม อะลูมิเนียม-สังกะสี หรืออาจจะ มีโลหะผสมอะลูมิเนียมกับเหล็ก ชาตุรวมกัน ดังเช่น อะลูมิเนียม-ทองแดง-ซิลิคอน และ แมกนีเซียม ซึ่งโลหะผสมแต่ละประเภทจะมีสมบัติแตกต่างกัน สามารถเลือกใช้งานได้อย่างกว้าง ขวาง อะลูมิเนียมผสมจำแนกออกได้เป็นสองประเภท (ดังแสดงในรูปที่ 1.2) ที่สำคัญคือ

1. ประเภทขี้นรูปเย็น (Wrought) เป็นโลหะผสมที่ผ่านการขี้นรูปด้วยการรีด การอัดขี้นรูปของมาเป็นแผ่น หรือเป็นแท่ง ซึ่งมีความสามารถอบชุบแข็งด้วยความร้อนได้ (Heat Treatable) และที่ไม่สามารถอบชุบแข็งด้วยความร้อนได้ ส่วนใหญ่จะมีทองแดง ซิลิคอน และ แมกนีเซียมเป็นชาตุผสม

2. ประเภทหล่อ (Cast) เป็นโลหะที่มีสมบัติพิเศษมีความสามารถในการหล่อได้ด้วยการหล่อเป็นรูปพรรณกระทำได้ง่าย ส่วนใหญ่ของโลหะผสมประเภทนี้สามารถอบชุบแข็งด้วยความร้อนได้ โลหะผสมที่สำคัญได้แก่ อะลูมิเนียมผสมซิลิคอนประมาณ 10-12 % [มนัส สถาร-จินดา, 2541]

การแยกประเภทของอะลูมิเนียมประเภทขี้นรูปเย็น ที่ผลิตขึ้นในรูปของแผ่นบาง (Sheet) แผ่นหนา (Plate) แท่ง (Rod) และเส้นลวด (Wire) ได้แยกตามชาตุผสมหลักที่เดิม ใช้สัญลักษณ์ตัวเลขสี่ตัว เพื่อบอกอะลูมิเนียมผสมขี้นรูปชนิดต่างๆ ตัวเลขตัวแรกบอกกลุ่มของอะลูมิเนียมที่ประกอบด้วยชาตุผสมหลัก ตัวเลขสองตัวหลังบอกว่าเป็นอะลูมิเนียมผสมหรือความบริสุทธิ์ของอะลูมิเนียม ตัวเลขตัวที่สองบอกการปรับขยายของโลหะผสมดังเดิมหรือความจำกัดของสารเจือปน (Impurity) ดังแสดงในตารางที่ 1.1 แสดงรายชื่อกลุ่มอะลูมิเนียมผสมที่ขี้นรูปมา



\*Can be Precipitation Hardened

**รูปที่ 1.2 ผลิตภัณฑ์ของโลหะอะลูมิเนียมพสม [Budinski, 1999]**

สมาคมอะลูมิเนียมแห่งสหราชอาณาจักรได้กำหนดสัญลักษณ์ด้วยตัวอักษรภาษาอังกฤษ 5 ตัวคือ -F, -O, -H, -W และ -T ตามหลังชุดตัวเลข 4 ตัวที่ได้กล่าวถึงมาแล้ว เอาไว้ตั้งแต่ปี ค.ศ.1948 เพื่อบอกสภาพของโลหะนั้น ตัวอักษรอาจตามด้วยตัวเลข 1 หรือ 2 ตัวได้อีก เพื่อบอกความแตกต่างในสาระสำคัญของแต่ละกรรมวิธีได้ [วีระพันธ์ สิทธิพงษ์, 2533]

ตารางที่ 1.1 กลุ่มของโลหะอะลูминเนียมผสมที่ขึ้นรูป (Wrought Aluminum) [ชาตรี หลักทอง และ คณ, 2540]

อะลูมิเนียม อย่างต่ำ 99.00% และมากกว่ากลุ่มอะลูมิเนียมผสมกับชาตุผสมหลัก	1XXX
ทองแดง	2XXX
แมงกานีส	3XXX
ซิลิคอน	4XXX
แมgnีเซียม	5XXX
แมgnีเซียมและซิลิคอน	6XXX
สังกะสี	7XXX
ชาตุอื่นๆ	8XXX
ชุดที่ไม่ได้ใช้	9XXX

-F : หมายถึง สภาพโลหะที่ได้จากการหล่อ โดยยังไม่ได้นำไปผ่านทั้งกรรมวิธีทางความร้อนหรือทางกล จึงไม่สามารถระบุสมบัติทางกลได้แน่นัด

-O : หมายถึง สภาพของโลหะภายหลังการอบอ่อน ซึ่งโลหะจะเกิดผลึกใหม่ เป็นสภาวะที่โลหะจะอ่อนและเหนียวที่สุดในบรรดาอะลูมิเนียมเรียกทั้งหลาย

-H : หมายถึง การทำให้แข็งโดยใช้ความเครียด อันได้แก่การขึ้นรูปเย็นเพื่อทำให้กำลังของวัสดุสูงขึ้น อักษร H มักตามด้วยตัวเลข 2 ตัวหรือมากกว่า

-T : หมายถึง สภาพของโลหะที่ผ่านกรรมวิธีทางความร้อนซึ่งอาจจะทำร่วมกับกรรมวิธีทางกล เช่น การขึ้นรูปเย็น เพื่อทำให้สภาวะที่ผ่านการปรับปรุงแล้วมีเสถียรภาพดีขึ้น อักษร T ก็เช่นเดียวกับอักษร H มักตามด้วยตัวเลข 2 ถึงเลข 10

ต่อไปนี้จะเป็นคำอธิบายความหมายของโลหะ ที่มีตัวอักษรตามหลังด้วยตัวเลข

H1 : หมายถึง โลหะที่ผ่านการแปรรูปเย็นมาอย่างเดียว ตัวเลขตัวที่ 2 ถ้ามีตามมาจะแสดงถึงความรุนแรงของการแปรรูป เลข 9 หมายถึง ความรุนแรงเกินขนาด (Extra Hard) เลข 8 หมายถึงความรุนแรงเต็มพิกัด (Full Hard) เลข 4 หมายถึงความรุนแรงครึ่งพิกัด (Half Hard) เลข 2 หมายถึงความรุนแรง 1/4 ของพิกัด (Quarter Hard) ถ้ามีตัวเลขตัวที่ 3 อีก จะบอกถึงสมบัติเชิงกลที่พิเศษออกไปหรือบอกถึงความเข้มข้นของการควบคุมภาวะประสิทธิภาพ

H2 : บอกให้ทราบว่าโลหะนั้นผ่านการแปรรูปเย็นแล้วอบอ่อนให้เหนียวขึ้นเล็กน้อย วัสดุจะสูญเสียกำลังไปบ้างจากการอบอ่อน เพื่อลดขนาดกำลังวัสดุให้เหลือเท่าที่ต้องการ โดยปกติวัสดุที่ผ่านการขึ้นรูปเย็น มักมีกำลังวัสดุสูงกว่าค่าที่ต้องการ ส่วนการระบุถึงความรุนแรงของ การแปรรูปและข้อปลีกย่อยอื่นๆ ยังคงใช้ระบบตัวเลขและความหมายเช่นเดียวกับชุดตัวเลขหลัง H1

H3 : บอกให้ทราบว่าโลหะนั้นผ่านการขึ้นรูปเย็นเพื่อปรับกำลังวัสดุให้ดีขึ้น แล้วนำไปอบด้วยอุณหภูมิไม่สูงมากนักให้มีเสถียรภาพ มักใช้กับโลหะที่มีแมงกานีสเข้าผสม ส่วนการบอกให้ทราบถึงความรุนแรงของการแปรรูปคงใช้ชุดตัวเลขลำดับที่ 2 และ 3 เช่นเดียวกับ H1 [วีระพันธ์ สิงพงศ์, 2533]

T1 : เอจจิงธรรมชาติ (Natural Aging) ผลิตภัณฑ์ (ชิ้นงาน) เย็นตัวจากกระบวนการขึ้นรูปที่อุณหภูมิสูง และเอจจิงตามธรรมชาติจนอยู่ในสภาพที่มีเสถียรภาพมาก [ชาตรี หลักทอง และคณะ, 2540]

T2 : บอกให้ทราบว่าชิ้นงานผ่านการอบอ่อนมาแล้ว และใช้กับชิ้นงานที่ผ่านกระบวนการหล่อขึ้นรูปมาแล้วเท่านั้น

T3 : เป็นสภาพของโลหะที่ผ่านการอบละลาย (Solution Heat Treated) แล้วแปรรูปเย็นทันทีเพื่อเพิ่มสมบัติทางกล

T4 : โลหะนี้ผ่านการอบละลายและปล่อยให้อเจจิงตามธรรมชาติจนอยู่ในสภาพคงรูป

T5 : โลหะนี้ผ่านการเอจจิงแบบเทียม (Artificial Aging) อย่างเดียวโดยกรรมวิธีทางความร้อนและไม่ผ่านการอบละลายมาก่อน

T6 : โลหะนี้ผ่านการอบละลายก่อน จึงนำไปทำการเอจจิงแบบเทียมด้วยกรรมวิธีทางความร้อน

T7 : โลหะนี้ผ่านการอบละลายแล้วปรับให้คงสภาพโดยการควบคุมอุณหภูมิและเวลาเพื่อให้ได้ขนาดเม็ดเกรนและความเกินตอกถ่างอย่างโดยย่างหนึ่งหรือทั้งสองอย่าง ให้มีขนาดที่จะทำให้โครงสร้างภายในมีเสถียรภาพ

T8 : โลหะผ่านการอบละลายเพื่อปรับความเหนียวให้ได้ขนาด นำไปผ่านการแปรรูปเย็นเพื่อเพิ่มกำลังวัสดุแล้วทำการเอจจิงแบบเทียมโดยใช้กรรมวิธีทางความร้อนเพื่อให้ได้กำลังวัสดุสูงขึ้น

T9 : โลหะผ่านการอบละลายแล้วทำการเอจจิงแบบเทียม ด้วยกระบวนการทางความร้อนจากนั้นจึงนำไปแปรรูปเย็นให้ได้กำลังวัสดุตามต้องการ

T10 : โลหะผ่านการอบเพื่อการเจ็งแบบเที่ยม ทำนองเดียวกับ T5 แต่จะนำไปผ่านการขึ้นรูปเย็นเพื่อให้ได้กำลังวัสดุตามประสงค์ โดยไม่ต้องทำการอบอ่อนมาก่อนทำเจ็ง [วีระพันธ์ สิทธิพงศ์, 2533]

อะลูมิเนียมผสมขึ้นรูปที่อบชุบความร้อนไม่ได้ อะลูมิเนียมผสมขึ้นรูปสามารถแบ่งอย่างง่ายๆ ออกเป็น 2 กลุ่มคือ กลุ่มที่อบชุบความร้อนไม่ได้และกลุ่มที่อบชุบความร้อนได้ อะลูมิเนียมผสมที่อบชุบความร้อนไม่ได้ไม่สามารถทำให้แข็งแรงขึ้นจากการตกตะกอน แต่ทำงานเย็นเพิ่มความแข็งแรงได้เท่านั้น สามกลุ่มหลักของอะลูมิเนียมผสมที่อบชุบความร้อนไม่ได้คือ กลุ่ม 1XXX, 3XXX และ 5XXX

อะลูมิเนียมผสม 1XXX อะลูมิเนียมผสมเหล่านี้มีอะลูมิเนียมอยู่อย่างน้อย 99.0% กับสารเจือปนหลักคือ เหล็ก และซิลิโคน การเพิ่มทองแดง 0.12% เพื่อให้มีความแข็งแรงเพิ่มขึ้นมาอีก อะลูมิเนียมผสม 1100 มีแรงดึงประมาณ 90 MPa ในสภาพอบอ่อน และใช้งานเป็นโลหะแผ่นเป็นหลัก

อะลูมิเนียมผสม 3XXX แมกนีเซียมเป็นธาตุผสมหลักของกลุ่มนี้ และทำให้อะลูมิเนียมความแข็งแรงขึ้นโดยทำให้แข็งแรงขึ้นจากการละลายของแข็ง โดยอะลูมิเนียมที่สำคัญที่สุดของกลุ่มนี้คือ 3003 ซึ่งโดยพื้นฐานคือ 1100 ที่เติมแมกนีเซียมประมาณ 1.25% อะลูมิเนียมผสม 3000 มีแรงดึงประมาณ 110 MPa ในสภาพอบอ่อน และใช้งานทั่วไปสำหรับอะลูมิเนียมผสมที่ต้องการความสามารถการทำงานดี

อะลูมิเนียมผสม 5XXX แมกนีเซียมเป็นธาตุผสมหลักของกลุ่มนี้ และเติมเพื่อให้แข็งแรงขึ้นจากการละลายของแข็ง ได้มากจนถึงประมาณ 5% ตัวที่สำคัญที่สุดทางอุตสาหกรรมของกลุ่มนี้คือ 5052 ซึ่งมีแมกนีเซียมประมาณ 2.5% และโคลเมียม 0.2% ในสภาพอบอ่อน อะลูมิเนียมผสม 5052 มีแรงดึงประมาณ 193 MPa ใช้งานเป็นโลหะแผ่นด้วย โดยเฉพาะกับรถเมล์ รถบรรทุก การใช้งานในน้ำทะเล

อะลูมิเนียมผสมขึ้นรูปที่อบชุบความร้อนได้ อะลูมิเนียมผสมบางชนิดทำให้แข็งแรงขึ้นจากการตกตะกอนด้วยการอบชุบความร้อนได้ อะลูมิเนียมผสมขึ้นรูปที่อบชุบความร้อนได้กลุ่มคือ 2XXX, 6XXX และ 7XXX

อะลูมิเนียมผสม 2XXX ธาตุผสมหลักของกลุ่มนี้คือ ทองแดง แต่โลหะผสมส่วนใหญ่เติมแมกนีเซียมด้วย ธาตุอื่นปริมาณพอควรที่เติมลงไปด้วย ตัวที่สำคัญที่สุดของกลุ่มนี้คือ 2024 ซึ่งมีทองแดงประมาณ 4.5% แมกนีเซียม 1.5% และแมกนีเซียม 0.6% อะลูมิเนียมผสมนี้แข็งแรงขึ้นจากการละลายของแข็งและจากการตกตะกอน สารประกอบเชิงโลหะ ที่มีส่วนผสมโดยประมาณ

ของ  $\text{Al}_2\text{CuMg}$  เป็นตะกอนหลักที่ทำให้แข็งแรงขึ้น อะลูมิเนียมพสม 2024 ในสภาพ T6 มีแรงดึง扯งประมาณ 442 MPa และใช้งานในโครงสร้างเครื่องบิน เป็นต้น

อะลูมิเนียมพสม 6XXX ชาตุพสมหลักของกลุ่ม 6XXX คือ แมกนีเซียม และซิลิคอนซึ่งรวมตัวกันเป็นสารประกอบเชิงโลหะ  $\text{Mg}_2\text{Si}$  ที่ทำให้อะลูมิเนียมกลุ่มนี้แข็งแรงขึ้น อะลูมิเนียมพสม 6061 เป็นตัวที่สำคัญที่สุดกลุ่มนี้ และมีส่วนผสมของแมกนีเซียม 1.0% ซิลิคอน 0.6% ทองแดง 0.3% โครเมียม 0.2% ในสภาพ T6 มีแรงดึง扯งประมาณ 290 MPa และใช้งานในโครงสร้างทั่วไป

อะลูมิเนียมพสม 7XXX ชาตุพสมหลักของกลุ่ม 7XXX คือ สังกะสี แมกนีเซียม และทองแดง สังกะสี และแมกนีเซียม รวมตัวกันเป็นสารประกอบเชิงโลหะ  $\text{MgZn}_2$  ซึ่งเป็นตะกอนหลักที่ทำให้อะลูมิเนียมพสมเหล่านี้แข็งแรงขึ้นเมื่อนำไปอบชุบความร้อน ความสามารถในการละลายที่ค่อนข้างสูงของสังกะสี และแมกนีเซียมในอะลูมิเนียมทำให้เกิดตะกอนที่หนาแน่นมาก จึงให้ความแข็งแรงเพิ่มสูงขึ้นมาก อะลูมิเนียม 7075 เป็นตัวที่สำคัญที่สุดของกลุ่มนี้ และมีส่วนผสมโดยประมาณของสังกะสี 5.6% แมกนีเซียม 2.5% ทองแดง 1.6% และโครเมียม 0.25% อะลูมิเนียม 7075 เมื่อบาบชุบความร้อนจนเป็น T6 มีแรงดึง扯งประมาณ 504 MPa และใช้งานในโครงสร้างเครื่องบิน [ชาตรี หลักทอง และคณะ, 2540]

ผลของชาตุต่างๆ ที่มีผลต่อสมบัติของอะลูมิเนียมโลหะพสม ชาตุต่างๆ นั้นบางชนิด เป็นชาตุเจือปน บางชนิดเป็นชาตุเจือซึ่งถูกกัดเมล็ดใบในกระบวนการการผลิต (Alloying Elements) ชาตุเจือปนที่พบมากในอะลูมิเนียมพสมเป็นอันดับแรกและอันดับรองลงมา ได้แก่ เหล็ก และซิลิคอนเนื่องจากเป็นชาตุที่เป็นองค์ประกอบในสิ่นแร่ที่นำมาผลิตอะลูมิเนียม ชาตุเหล่านี้มีผลต่อโลหะพสมของอะลูมิเนียม ดังต่อไปนี้

#### ซิลิคอน (Si)

เป็นตัวเพิ่มความแข็งให้กับงานหล่อ ช่วยปรับปรุงสมบัติทางการหล่อให้ดีขึ้น สมบัติเหล่านี้ ได้แก่ การไอลด์ตัว การป้อนโลหะเหลวเข้าแบบ และความทนทานต่อการฉีกขาดจากสภาพร้อน (Hot Tear Resistance) ถ้ามีปริมาณซิลิคอนเพิ่มขึ้นจะช่วยลดปัญหาการหล่อตัว (Shrinkage) ลง ความทนทานต่อแรงอัดเพิ่มขึ้น แต่จะทำให้การขยายตัวเมื่อถูกความร้อน และความอ่อนเหนี่ยวของงานหล่อลดลง

#### เหล็ก (Fe)

เพิ่มความทนทานต่อการฉีกขาดในสภาพร้อนที่อุณหภูมิสูง ได้ดีเนื่องจากการหล่อตัวน้อยลง ถ้ามีเหล็ก 0.9-1.3% สมบัติทางเชื่อมประสานด้วยการบัดกรี (Soldering) จะลดลง ถ้ามีเหล็กปริมาณสูงจะมีผลเช่นเดียวกับการที่มีส่วนผสมของแมกนีเซียมกับโครเมียมประมาณ 0.5% สมบัติ

ทางการหล่อหลคอมจะลดลง นอกจานนี้เหล็กยังลดความด้านทานต่อแรงกระแทก ความอ่อนเหนี่ยว (Ductile) และการตอบแต่งด้วยเครื่องจักรลง

#### ทองแดง (Cu)

ช่วยปรับปรุงความแข็งแรง ความแข็งแรงของงานหล่อและงานหล่อที่ชุบแข็ง เพิ่มประสิทธิภาพในการตอบแต่งด้วยเครื่องจักร (Machinability) และความสามารถในการเป็นตัวนำความร้อน ประสิทธิภาพที่ได้จากชุบแข็งสูงสุดถ้าผสมทองแดง 4% ถึง 6% แต่จะทำให้ความสามารถในการทนทานต่อการผุกร่อนที่เกิดจากแรงอัดลดลง สภาพความอ่อนเหนี่ยวและทนทานต่อการนีกขาดเนื่องจากความร้อนลดลง

#### แมงกานีส (Mn)

ในปริมาณที่สูงกว่า 0.5% แมงกานีสช่วยปรับปรุงให้งานหล่อได้เนื้อแน่น สามารถใช้กับงานตอบแต่งด้วยเคลือบ เช่น การ Anodizing, Coating ได้ดีขึ้น เพิ่มสมบัติในการใช้งานร้อนที่ต้องการความแข็งแรงดีขึ้น แมงกานีสเป็นตัวควบคุมการก่อตัวของโครงสร้างที่เกิดจากการรวมตัวของเหล็กในโลหะผสม ช่วยรักษาสภาพความอ่อนเหนี่ยว ปรับปรุงสมบัติทางการหล่อตัวดีขึ้นกล่าวคือ ลดการหล่อตัว และลดแนวโน้มทางด้านการอ่อนตัว

#### สังกะสี (Zn)

เมื่อเปรียบเทียบกับการผสมทองแดง และแมgnีเซียมแล้วสังกะสีจะให้ผลต่อสมบัติทางการอบชุบแข็งด้วยความร้อน และการปล่อยให้เย็นในสภาพบรรยายกาศปกติธรรมชาติ (Natural Aging) และถ้ามีปริมาณผสมของสังกะสีที่เพิ่มขึ้น สมบัติทางการหล่อตัวของโลหะผสมจะดีขึ้น แต่จะมีปัญหาการหล่อตัวตามมา นอกจานนี้สังกะสียังมีผลต่อสมบัติทางการตอบแต่งด้วยเครื่องจักรสูงกว่าทองแดง

#### แมgnีเซียม (Mg)

ตามมาตรฐานของ American International Standard Institute (AISI) โลหะผสมที่มีแมgnีเซียมผสมอยู่ในรูป  $Mg_2Si$  0.252-0.5% ช่วยเพิ่มประสิทธิภาพในการชุบแข็งแบบเย็นเร็ว (Precipitation Hardening) ให้ความแข็งกระจาดด้วยส่วนผสมอ หรือให้สมบัติเชิงกล (Mechanical Properties) ส่วนผสมอ โดยทั่วไปแมgnีเซียมที่ผสมอยู่ในอะลูมิเนียม โลหะผสมจะทำให้ผิวโลหะมีความเงามากเมื่อผ่านการตอบแต่งด้วยเครื่องจักร และทนทานต่อการผุกร่อนได้สูง แมgnีเซียมที่ผสมอยู่ในอะลูมิเนียมที่กำลังหลคอมจะเป็นตัวออกซิไดซ์ทำให้เกิดการสูญเสียเนื้ออะลูมิเนียม อะลูมิเนียมที่ใช้กับงานประเททหล่อหลคอมจึงต้องควบคุมปริมาณแมgnีเซียมให้ต่ำ เพื่อป้องกันการแตกร้าวนื่องจากใช้แรงอัดสูง

### ตะกั่ว (Pb)

เป็นตัวช่วยปรับปรุงสมบัติการตอบแต่งด้วยเครื่องจักรให้ดีขึ้น โดยทำหน้าที่เป็นตัว Chip Breaker ช่วยให้ปีกเลี้ยง ไส้ กัด ขาดเป็นช่วง ไม่ออกเป็นเส้นใหญ่ต่อเนื่อง

### nickel (Ni)

ให้ความแข็งแรงทางด้านการใช้งานในอุณหภูมิสูงต่างๆ ได้สูงกว่าเมื่อเทียบกับ การผสมทองแดงในโลหะผสม nickel ทำให้สัมประสิทธิ์การขยายตัวเนื่องจากความร้อนลดลง และ ปรับปรุงสมบัติทางด้านการรักษาขนาดให้คงที่

### บิสมัท (Bi)

ถ้ามีอยู่ในโลหะผสมเกินกว่า 0.1% จะเพิ่มสมบัติทางการตอบแต่งด้วยเครื่องจักรให้ดีขึ้น

### โครเมียม (Cr)

ช่วยเพิ่มความทนทานต่อการผุกร่อน และลักษณะการใช้งานแบบจุ่มแช่ โครเมียม ช่วยลดการโตของเกรน (Grain Growth) ข้อเสียคือ โครเมียมมักจะเกิดการรวมตัวกับเหล็กหรือ แมงกานีส เกิดเป็นของเสียหรือสิ่งสกปรก

### ดีบุก (Sn)

เป็นตัวปรับปรุงทำให้ความฝืดคล่อง (Anti-Friction) และสมบัติทางการตอบแต่ง ด้วยเครื่องจักร และช่วยเพิ่มสมบัติในการซูบแข็งให้ดีขึ้นสำหรับโลหะผสมบางตัว เช่น LM2, LM24 ที่มีดีบุก 0.2% หมายความว่าหลอมที่มีความดันสูง (High Pressure Die Casting) ดีมาก เพราะสมบัติในการไหลดัตว์ การใช้ดีบุกจะทำให้ความแข็งลดลง แต่สมบัติในการขึ้นรูปร้อนดีขึ้น

### ไทเทเนียม (Ti)

ใช้เป็นตัวปรับเนื้อโครงสร้างของโลหะผสม (Grain Refinement) ให้ละเอียด โดยใช้ร่วมกับไบرون จึงจะได้ผลดี

### 瓦เนเดียม (V)

โดยปกติมักจะพบว่าแนวเดี่ยม 10-200 ส่วนในล้านส่วนในอะลูมิเนียมที่ใช้ในการค้า แนวเดี่ยมทำให้การนำไฟฟ้าของอะลูมิเนียมลดลง ช่วยทำให้การปรับโครงสร้างของโลหะผสมได้ ผลเด่นอย่างไร ไทเทเนียม แนวเดี่ยมทำให้อุณหภูมิที่ใช้ในการตกผลึกอะลูมิเนียมสูง

### ไบرون (B)

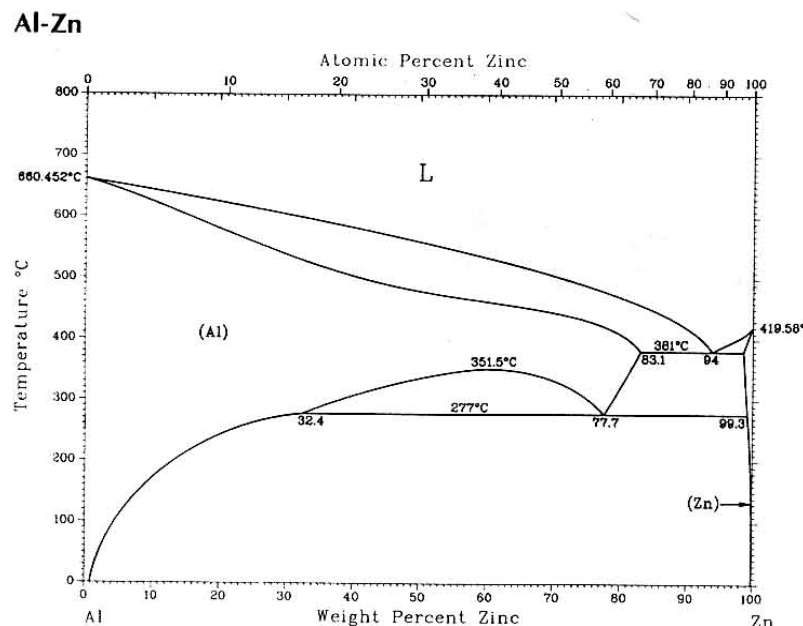
ใช้งานในรูปของไทเทเนียมไบไรด์ เพื่อปรับสภาพการเกิดของนิวเคลียสให้คงที่ จากการทำการปรับเนื้อโครงสร้างของโลหะผสมด้วยไทเทเนียมไตรอะลูมิไนด์ ( $TiAl_3$ ) ในกรณีที่ ต้องการเพิ่มสมบัติในการเป็นตัวนำไฟฟ้าให้กับโลหะผสม จะใช้ไบرونผสมกับไทเทเนียม

วานเดียบ ธาตุที่เหมาะสมอื่นๆ เติมลงไปแต่ถ้าหากมีปริมาณโลหะรอนสูงมากเกินไปจะมีผลต่อโลหะผสม คือ ทำให้สมบัติทางกล การตอบแตร่งด้วยเครื่องจักร และความอ่อนเหนี่ยวลดลง โลหะรอนจะถูกจับเข้าไปในโครงสร้างผลึกซึ่งจะเกิดในน้ำโลหะในลักษณะคลุกเคลือปะปนอยู่ทำให้ค่อนข้างยุ่งยากในการแยกออก

#### เบริลเลียม (Be)

ถ้ามีเบริลเลียมผสมอยู่ในปริมาณที่เกินกว่า 0.04% จะเพิ่มสมบัติทางความแข็งแรง และความอ่อนเหนี่ยวดีขึ้น ถ้าผสมเข้าไปในโลหะผสมที่มีแมกนีเซียมเป็นส่วนผสมอยู่ จะทำให้เกิดการสูญเสีย เบริลเลียมประมาณ 0.005% เนื่องจากการออกซิเดชันและเกิดเป็นปิโลหะ (Dross) มาก เบริลเลียมเป็นธาตุที่ก่อให้เกิดมะเร็ง ดังนั้น จึงควรระมัดระวังในขณะทำการเชื่อมประสานชิ้นโลหะ [กรมวิทยาศาสตร์บริการ, 2543]

#### 1.2.3 โลหะอะลูมิเนียมผสมสังกะสี (Al-Zn Alloys)



รูปที่ 1.3 แผนภาพสมดุลไฟฟ้าของอะลูมิเนียม-สังกะสี [Baker, 1992]

จากแผนภาพสมดุลอะลูมิเนียม-สังกะสี ลังเตดในรูปที่ 1.3 เราจะพบว่า สังกะสี (Zn) มีอุณหภูมิการหลอมละลายต่ำกว่าอะลูมิเนียม (Al) คือ ที่อุณหภูมิ  $419.5^{\circ}\text{C}$  น้อยกว่าแล้ว สังกะสีซึ่งมีโครงสร้างผลึกแบบ Hexagonal ซึ่งแตกต่างจากอะลูมิเนียมซึ่งมีโครงสร้างผลึกแบบ Face Centered Cubic, FCC การ

ผสมสังกะสี 4 - 8% และแมกนีเซียม 1 - 3% ในอะลูมิเนียมเมื่อใช้ในการผลิตอะลูมิเนียมผสมแปรรูปเข็นและสามารถปฏิบัติการทางความร้อนได้ อะลูมิเนียมผสมบางกลุ่ม เช่น 7XXX

ถูกพัฒนาสมบูรณ์ให้มีความแข็งแรงสูงสุด โดยการเติมสังกะสีและแมกนีเซียม ธาตุทั้งสองมีความสามารถในการละลาย ในสภาวะสารละลายของแข็งสูง นอกจากนี้ การเพิ่มทองแดง 1 - 2% ลงใน

อะลูมิเนียมกลุ่ม 7XXX ทำให้มีสมบัติด้านความแข็งแรงของอะลูมิเนียมผสมสังกะสีและแมกนีเซียมสูงขึ้น นิยมนำไปใช้งานทางด้านการอาชีวศึกษาที่มีความต้องการ ความแข็งแรงสูง

#### 1.2.4 การเพิ่มความแข็งแรงโดยการอเจจิง (Aging or Precipitation Hardening) ของอะลูมิเนียมผสมกลุ่ม 7XXX

อะลูมิเนียมผสมสังกะสีและแมกนีเซียมชนิดแปรรูปเย็น สามารถเพิ่มความแข็งแรงโดยการทำอเจจิง ภายหลังจากปฏิบัติการทางความร้อนและการลดอุณหภูมิ ลำดับในการทำอเจจิงของอะลูมิเนียมผสมสังกะสีและแมกนีเซียม เป็นที่รู้จักทั่วไป ดังแสดงในตารางที่ 1.2

**ตารางที่ 1.2 แสดงขั้นตอนของ Precipitation-Hardening [Porter and Easterling, 1992]**

Base Metal	Alloy	Precipitation Sequence
Aluminum	Al-Ag	GPZ (Spheres) $\rightarrow \gamma'$ (Plates) $\rightarrow \gamma$ ( $\text{Ag}_2\text{Al}$ )
	Al-Cu	GPZ (Discs) $\rightarrow \theta''$ (Discs) $\rightarrow \theta'$ (Plates) $\rightarrow \theta$ ( $\text{CuAl}_2$ )
	Al-Cu-Mg	GPZ (Rods) $\rightarrow S'$ (Laths) $\rightarrow S$ ( $\text{CuMgAl}_2$ ) (Laths)
	Al-Zn-Mg	GPZ (Spheres) $\rightarrow \eta'$ (Plates) $\rightarrow \eta$ ( $\text{MgZn}_2$ ) (Plates or Rods)
	Al-Mg-Si	GPZ (Rods) $\rightarrow \beta'$ (Rods) $\rightarrow \beta$ ( $\text{Mg}_2\text{Si}$ ) (Plates)
Copper	Cu-Be	GPZ (Discs) $\rightarrow \gamma'$ $\rightarrow \gamma$ ( $\text{CuBe}$ )
	Cu-Co	GPZ (Spheres) $\rightarrow \beta$ (Co) (Plates)
Iron	Fe-C	$\varepsilon$ -Carbide (Discs) $\rightarrow \text{Fe}_3\text{C}$ (Plates)
	Fe-N	$\alpha''$ (Discs) $\rightarrow \text{Fe}_4\text{N}$
Nickel	Ni-Cr-Ti-Al	$\gamma'$ (Cubes or Spheres)

โลหะอะลูมิเนียมผสมสังกะสีและแมกนีเซียมที่ถูกนำมาให้ความร้อนจนถึงอุณหภูมิประมาณ  $480^{\circ}\text{C}$  ที่อุณหภูมนี้โลหะผสมจะอยู่ในสภาวะสารละลายของแข็ง เพส  $\alpha$  และเมื่อนำมาเย็นตัวลงมาที่อุณหภูมิห้องอย่างรวดเร็วทำให้เกิดโครงสร้างที่เรียกว่า Supersaturated Solid Solution หรือ SSS ก่อนนำมาบ่มต่อที่อุณหภูมิ  $150^{\circ}\text{C}$  โครงสร้าง SSS จะค่อยๆเปลี่ยนไปเป็นโครงสร้าง GP-Zone ซึ่งมีลักษณะรูปร่างเป็นทรงกลมเกาะขึ้นกับเมตัลิกซ์ อินเตอร์เฟสระหว่างจิปโซนกับเมตัลิกซ์ปืนแบบโคลเอียร์นท์เติมที่ พลังงานอินเตอร์

เฟสต่ำมาก ภายหลังจากการฟอร์มตัวของจีพีโซน ความแข็งของชิ้นงานจะเพิ่มขึ้นโดยมีแรงต้านการเคลื่อนที่ดิสโลเคชันผ่านโคเอียเรนท์โซน แต่เมื่อเวลาการบ่มเพิ่มขึ้นจะเกิดการฟอร์มตัวของเฟส  $\eta'$  ซึ่งเป็นพริซิพิเทต (Precipitate) ของ  $MgAl_2$  มีขนาดเล็กระยะห่างระหว่างพริซิพิเทตชิกกันมาก การเคลื่อนที่ของดิสโลเคชันเป็นไปได้ยากขึ้นในขณะที่ตัดผ่านพริซิพิเทตทำให้ความแข็งแรงเพิ่มขึ้นจากเดิม ถ้าหากบ่มต่อไปเฟส  $\eta'$  จะเปลี่ยนไปเป็นเฟส  $\eta$  ( $MgZn_2$ ) ระยะห่างระหว่างพริซิพิเทตของ  $\eta$  เพิ่มขึ้น ทำให้ดิสโลเคชันสามารถตัดผ่านพริซิพิเทต  $\eta$  ง่ายขึ้น ความแข็งแรงของโลหะผสมจะค่อยๆ ลดลง ลักษณะเช่นนี้เรียกว่า Overaging

#### 1.2.5 อะลูมิเนียมผสมเกรด 7075-T651 [Davis, 1993]

##### สมบัติทางฟิสิกส์

น้ำหนักต่อต่อม	26.97
โครงสร้างผลึก (Crystal Structure)	FCC
ความหนาแน่น ( $20^{\circ}\text{C}$ )	$2.80 \text{ g/cm}^3$
อุณหภูมิหลอมเหลว	$635^{\circ}\text{C}$
สภาพตัวนำความร้อน ( $20^{\circ}\text{C}$ )	$130 \text{ W/m.K}$
สัมประสิทธิ์การขยายตัว ( $20^{\circ}\text{C}$ )	$23.8 \times 10^{-6}/^{\circ}\text{C}$
ความต้านทานไฟฟ้า ( $20^{\circ}\text{C}$ )	$52.2 \text{ n}\Omega .\text{m.}$
สภาพการนำไฟฟ้า ( $20^{\circ}\text{C}$ )	33% IACS.

##### สมบัติเชิงกล (Plate T6, T651 ความหนา 12.7-25.4 มม.)

ความแข็งแรงการดึง (Tensile Strength)	538 MPa
ความแข็งแรงจุดคราก (Yield Strength)	469 MPa
เปอร์เซ็นต์การยืดตัว (Percent Elongation)	7 %
ความแข็ง (Hardness)	150 HB
โนมูลัสของความยืดหยุ่น (Modulus of Elasticity)	71.0 GPa
อุณหภูมิอบอ่อน (Annealing Temperature)	$415^{\circ}\text{C}$
อุณหภูมิอบละลาย (Solution Temperature)	$465-480^{\circ}\text{C}$
อุณหภูมิออกจิง (Aging Temperature) T6 temper	$120^{\circ}\text{C}$

### 1.2.6 การคีบ (Creep)

เมื่อวัสดุของแข็ง (Solid Materials) ถูกแรงกระทำหรือรับภาระ (Load) จะเกิดความเค็น (Stress) ขึ้นภายในวัสดุ ทำให้เกิดการเปลี่ยนรูป (Deformation) ภายใต้ภาระหรือความเค็นคงที่ การเปลี่ยนรูปจะเกิดขึ้นอย่างต่อเนื่อง pragmatism เช่นนี้เรียกว่า การคีบ (Creep) โดยทั่วไป โลหะและโลหะผสมจะเกิดการคีบได้ง่ายที่อุณหภูมิสูงกว่า  $0.3 - 0.5 T_m$  เมื่อ  $T_m$  คืออุณหภูมิหลอมเหลวสัมบูรณ์ (Absolute Melting Temperature) ดังแสดงในตารางที่ 1.3 การคีบที่เกิดขึ้นในโลหะและโลหะผสมมีความสำคัญอย่างมากต่อการออกแบบทางวิศวกรรม โดยเฉพาะอย่างยิ่งชิ้นงานที่ใช้งานที่อุณหภูมิสูง เช่น วิศวกรต้องการเลือกใช้วัสดุสำหรับทำใบพัดของเครื่องกังหันแก๊ส (Gas Turbine Blade) วิศวกรจะต้องเลือกใช้โลหะผสมที่มีอัตราการคีบ (Creep Rate) ต่ำมากๆ เพื่อทำให้ใบพัดกังหันแก๊สสามารถใช้งานได้ตลอดอายุที่ได้ออกแบบไว้ [แม่น อมรสิทธิ์ และสมชาย อัครทิวา, 2543] โดยทั่วไปจะถูกนิยมเกิดการคีบได้ที่อุณหภูมิประมาณ  $200 - 300^\circ\text{C}$  ซึ่งถือว่าต่ำเมื่อเทียบกับโลหะชนิดอื่นๆ [Spigarelli, 1999]

พฤติกรรมการคีบของวัสดุ ขึ้นอยู่กับตัวแปรที่สำคัญ ได้แก่ ความเค็น อุณหภูมิ และเวลา เมื่อทดสอบให้วัสดุรับภาระคงที่ (Constant Load Creep) หรือรับความเค็นคงที่ (Constant Stress Creep) การเปลี่ยนรูปที่เกิดขึ้นทั้งหมด (Overall Deformation,  $\mathcal{E}$ ) ของวัสดุสามารถเขียนแทนได้ด้วยสมการ ที่ 1.1

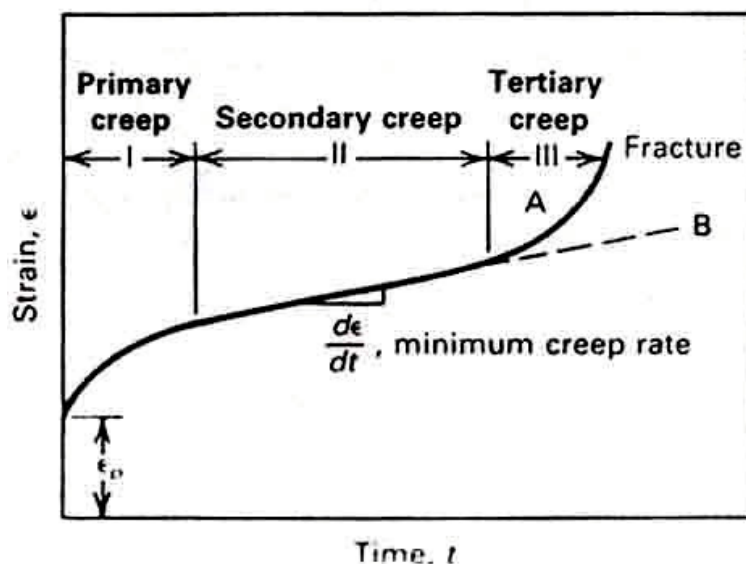
$$\mathcal{E} = \mathcal{E}_0 + \mathcal{E}(\sigma, T, t) \quad (1.1)$$

เมื่อ  $\mathcal{E}_0$  คือ ความเครียดทันทีทันใด (Instantaneous Strain)  
 $\mathcal{E}(\sigma, T, t)$  คือ ค่าความเครียดของการคีบ (Creep Strain) ซึ่งเป็นค่าที่ขึ้นกับ  
 ความเค็น ( $\sigma$ ) อุณหภูมิ ( $T$ ) และเวลา ( $t$ )  
 ตารางที่ 1.3 อุณหภูมิเกิดการคีบของโลหะบริสุทธิ์และโลหะผสมต้านทานอุณหภูมิสูง  
 [Spigarelli, 1999]

Materials	Temperature
Aluminum	$T > 0.54 T_m$
Titanium	$T > 0.30 T_m$

Low Alloyed Steel	$T > 0.36 T_m$
Austenitic Stainless Steel	$T > 0.49 T_m$
Super Alloys	$T > 0.56 T_m$

สมมุติในการทดสอบการคีบของวัสดุโดยกำหนดให้การแรงดึงคงที่ (Constant Tension Load) และอุณหภูมิก็คงที่ (Constant Temperature) พฤติกรรมการคีบของวัสดุสามารถแสดงได้โดยเส้นโค้งการคีบ (Creep Curve) ซึ่งเป็นการพลีอตต่าความเครียดของการคีบ บนแกน y ต่อเวลา บนแกน x ดังแสดงในรูปที่ 1.



รูปที่ 1.4 ลักษณะของเส้นโค้งการคีบ [ASM, 1985]

เส้นโค้งการคีบสามารถแบ่งออกได้เป็น 3 ระยะคือ

1. ระยะแรก (Primary Creep หรือ Transient Creep) ระยะนี้อัตราการคีบจะค่อยๆ ลดลง เมื่อเวลาผ่านไป ดังแสดงในรูปที่ 1.4 เส้นโค้งความเครียดของการคีบต่อเวลา มีลักษณะโค้งกว่า ซึ่งจัดเป็นเส้นโค้งการคีบระยะแรกแบบปกติ (Normal Primary Creep)

2. ระยะที่สอง (Secondary Creep) หรือระยะการคีบแบบสถานะคงที่ (Steady-State Creep) เป็นระยะที่อัตราการคีบมีค่าคงที่และต่ำสุด เส้นโค้งการคีบจะเพิ่มขึ้นเป็นเส้นตรง

3. ระยะที่สาม (Tertiary Creep) เป็นระยะที่อัตราการคีบจะเพิ่มสูงขึ้นเรื่อยๆ จนถึงจุดที่วัสดุแตกหัก (Rupture) เส้นโค้งการคีบจะมีลักษณะเป็นเส้นโค้งแบบหยาบ

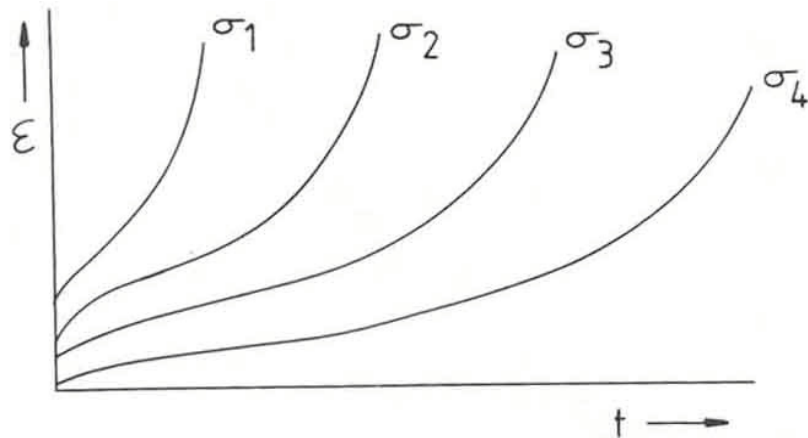
ระยะการคีบที่ได้รับความสนใจมากที่สุด คือระยะการคีบแบบสถานะคงที่ เพราะเป็นระยะที่มีการคีบนานที่สุด อัตราการคีบที่สถานะคงที่ ( $\dot{\epsilon}_{ss}$ ) สามารถเขียนแทนได้ด้วยสมการยกกำลัง (Power Law) ดังนี้

$$\dot{\epsilon}_{ss} = B\sigma^n \quad (1.2)$$

เมื่อ  $B$  คือ พารามิเตอร์ของวัสดุขึ้นอยู่กับอุณหภูมิ (Temperature-Dependent Material Parameter)

$\sigma$  คือ ความเค็นการคีบ (Creep Stress)

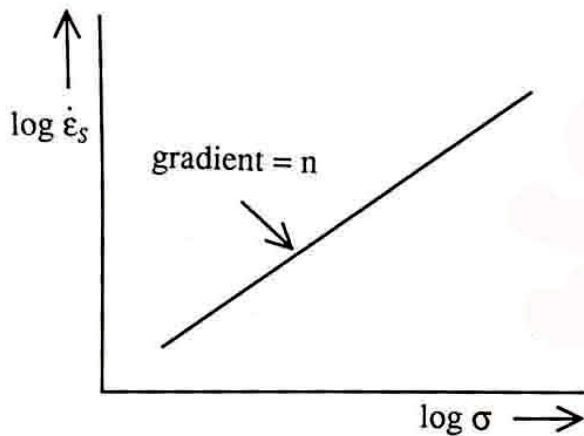
$n$  คือ ค่ายกกำลังของความเค็น (Stress Exponent)



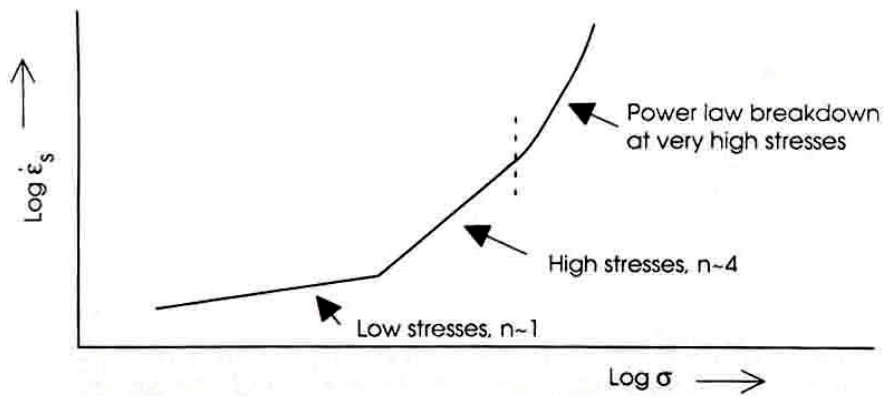
รูปที่ 1.5 เส้นโค้งการคีบแสดงความสัมพันธ์ระหว่างความเครียดกับเวลาที่อุณหภูมิกองที่ และค่าความเค็นต่างๆ ( $\sigma_1 > \sigma_2 > \sigma_3 > \sigma_4$ ) [Evans and Wilshire, 1993]

ในการคำนวณหาค่า  $n$  แต่ละค่ามีผลจากการกำหนดให้อุณหภูมิในการทดสอบคงที่และเปลี่ยนแปลงค่าของความเค็นที่ความเค็นต่างๆ จะได้กราฟแสดงความสัมพันธ์ระหว่างความเครียดกับเวลา ดังแสดงในรูปที่ 1.5

โดยทั่วไปโลหะบริสุทธิ์จะมีค่า  $n$  ประมาณ 4 - 5 (เฉลี่ย 4.5) การเขียนกราฟ  $\log \dot{\epsilon}_{ss}$  กับ  $\log \sigma$  ที่อุณหภูมิกองที่จะได้กราฟเป็นเส้นตรงมีค่าความชัน (Slope) เท่ากับ  $n$  ดังแสดงในรูปที่ 1.6 และรูปที่ 1.7 และค่าความชันของ (Stress Exponent,  $n$ ) ทั้ง 3 ช่วง



รูปที่ 1.6 กราฟแสดงความสัมพันธ์ระหว่างค่า  $\log \dot{\epsilon}_{ss}$  และค่า  $\log \sigma$  [Evans and Wilshire, 1993]



รูปที่ 1.7 กราฟแสดงความสัมพันธ์ระหว่างค่า  $\log \dot{\epsilon}_{ss}$  และค่า  $\log \sigma$  [Evans and Wilshire, 1993]

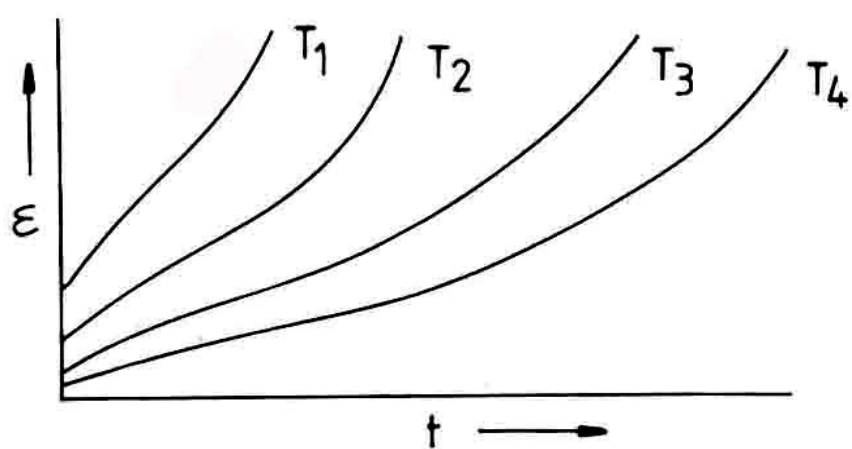
เมื่อทดสอบการคีบที่ค่าความเค้นต่ำๆ ค่า  $n$  จะมีค่าเท่ากับ 1 ซึ่งเป็นช่วงของการเปลี่ยนแปลงพฤติกรรมการคีบของวัสดุ จากกลไกการคีบแบบคิสโลเคชัน (Dislocation Creep,  $n = 4 - 5$ ) ไปสู่กลไกการคีบที่อุบัติความคุณโดยการแพร่ (Diffusional Creep,  $n = 1$ ) การแปรเปลี่ยนอุณหภูมิของการคีบจะทำให้อัตราการคีบเปลี่ยนไปอย่างมีนัยสำคัญ ที่ความเค้นคงที่ ดังแสดงในรูปที่ 1.8 พฤติกรรมการคีบสามารถอธิบายได้ด้วยสมการแบบอาร์เรนเนียม (Arrhenius Form) ดังนี้

$$\dot{\epsilon}_{ss} = C \exp\left(-\frac{Q_c}{RT}\right) \quad (1.3)$$

เมื่อ  $C$  คือ พารามิเตอร์ของวัสดุขึ้นอยู่กับความเค้น (Stress-Dependent Material Parameter)

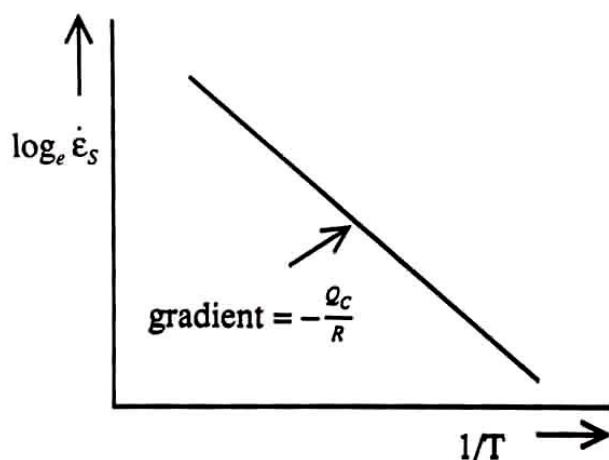
$R$  คือ ค่าคงที่ของแก๊สสามาก (Gas Constant)

$Q_c$  คือ พลังงานกระตุ้นสำหรับการเคบ (Activation Energy for Creep) ที่มีค่าเท่ากับ พลังงานกระตุ้นสำหรับการแพร่ (Activation Energy for Diffusion,  $Q_d$ ) เมื่อเขียนกราฟความ สัมพันธ์ระหว่างค่า  $\ln \frac{\dot{\epsilon}}{\dot{\epsilon}_0}$  และ  $\frac{1}{T}$  จะได้กราฟเส้นตรงที่มีความชันเท่ากับ  $-\frac{Q_c}{R}$  ดังแสดงในรูปที่ 1.9



รูปที่ 1.8 เส้นโค้งการเคบที่อุณหภูมิต่างๆ ( $T_1 > T_2 > T_3 > T_4$ ) และความเค็นคงที่  $\sigma$

[Evans and Wilshire, 1993]



**รูปที่ 1.9** กราฟแสดงความสัมพันธ์ระหว่างค่า  $\ln \dot{\epsilon}_{ss}$  และค่า  $\frac{1}{T}$  [Evans and Wilshire, 1993]

เมื่อรวมสมการที่ 2 และ 3 เข้าด้วยกันจะได้สมการ

$$\dot{\epsilon}_{ss} = A \sigma^n \exp\left(-\frac{Q_c}{RT}\right) \quad (1.4)$$

เมื่อ  $A$  คือพารามิเตอร์ของวัสดุ (Material Parameter) โดยทั่วไปสำหรับโลหะบริสุทธิ์ค่า  $n$  ไม่ขึ้นกับอุณหภูมิ ( $n \approx 4 - 5$ ) และค่า  $Q_c$  ไม่ขึ้นกับความเค็น แต่สำหรับโลหะผสมค่า  $Q_c$  ขึ้นกับความเค็นและ  $n$  มีค่าสูงมาก ( $n \approx 7 - 20$ )

### 1.2.7 กลไกการคีบ (Creep Mechanisms) ของโลหะบริสุทธิ์ และโลหะผสมชนิด M (Class M Alloy) และโลหะผสมชนิดสารละลายของแข็งชนิด A (Class A Alloy)

สมการที่ 1.4 แสดงรายละเอียดของอัตราการคีบแบบสถานะคงที่ขึ้นอยู่กับความเค็น (Stress-Dependence of Steady-State Creep Rate) และอัตราการคีบแบบสถานะคงที่ขึ้นอยู่กับอุณหภูมิ (Temperature-Dependence of Steady-State Creep Rate) นอกจากนี้อัตราการคีบที่สถานะคงที่สามารถแสดงได้โดยสมการ

$$\dot{\epsilon}_{ss} = A_o \frac{D_o G b}{kT} \left(\frac{b}{d}\right)^p \left(\frac{\sigma}{G}\right)^n \exp\left(-\frac{Q_o}{RT}\right) \quad (1.5)$$

เมื่อ

$A_o$  คือ พารามิเตอร์ของวัสดุที่ไร้มิติ (Dimensionless Material Parameter)

$b$  คือ เบอร์เกอร์สเวกเตอร์ (Burgers Vector)

$d$  คือ ขนาดของกราน (Grain Size)

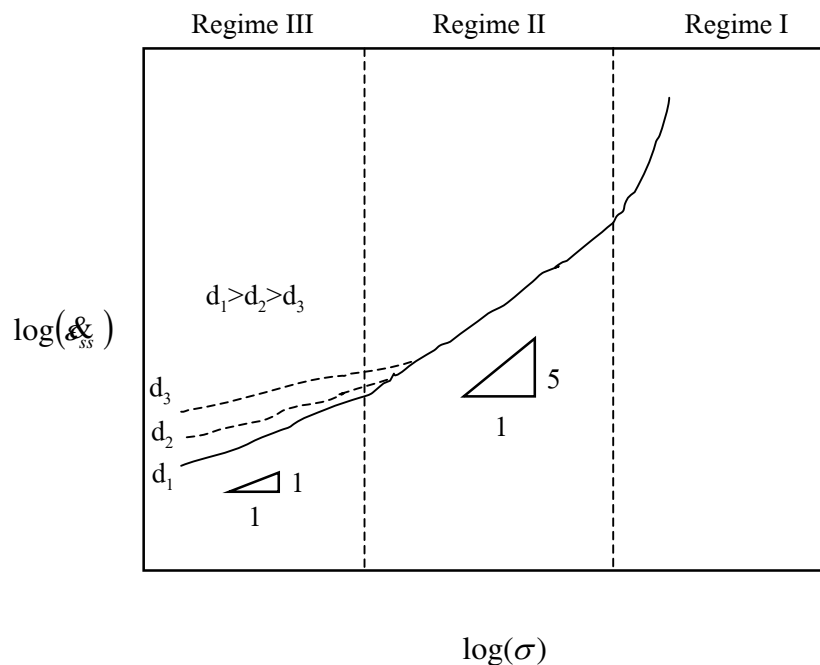
$G$  คือ โมดูลัสของความแกร่ง (Modulus of Rigidity)

$k$  คือ ค่าคงที่ของโบลซ์แมนน์ (Boltzmann Constant)

$D_o$  คือ แฟคเตอร์ความถี่ (Frequency Factor)

$n$  และ  $p$  คือ ค่าคงที่ (Constant)

พฤติกรรมการคีบของโลหะบริสุทธิ์ และโลหะผสมชนิด M (Class M Alloy) สามารถแบ่งออกเป็น 3 พื้นที่ ดังแสดงในรูปที่ 1.10



รูปที่ 1.10 กราฟแสดงความสัมพันธ์ระหว่าง  $\log(\sigma)$  และ  $\log(\dot{\epsilon}_{ss})$  ของโลหะบริสุทธิ์และโลหะผสมชนิด M (Class M Alloy) [Spigarelli, 1999]

1. Regime I ขอบเขตความคื้นสูง พื้นที่นี้ไม่มีความสำคัญกับการคีบ เพราะมีอัตราการยึดสูงมากแต่เหมาะสมกับการปฏิบัติเกี่ยวกับการขึ้นรูปร้อน (Hot-Forming)
2. Regime II ขอบเขตความคื้นปานกลาง คุณลักษณะโดยทั่วไปมีค่า  $n = 4-5$ ,  $p = 0$  และ ค่าของ  $Q = Q_o$  (เมื่อ  $Q_o$  คือ Activation Energy for Lattice Self-Diffusion) ในพื้นที่นี้ การคีบถูกควบคุมโดยกลไกการคืนตัว (Recovery Mechanisms) เช่น การปืน (Climb) และการทำลายกันเองของดีส โลเคชัน (Annihilation of Dislocation) ดีส โลเคชันแบบขอบสามารถปืนเนื่องจากเกิดการแพร่ของวัตถุซึ่งอยู่ในรูปของดีส โลเคชัน ยังผลให้ท่ออุณหภูมิสูงเป็นตัวกระตุ้นการเคลื่อนที่ของดีส โลเคชัน การแพร่ความคุณอัตราการคีบประภากลางนี้ทำให้ค่า  $Q = Q_o$  ในความเป็นจริงแล้วการเปลี่ยนรูปเป็นผลมาจากการไถ (Glide) และการปืนที่ถูกกระตุ้นจากความร้อน (Thermally-

Assisted Climb) ของดิสโลเคชัน กลไกที่ช้าสุดจะเป็นตัวควบคุมการคีบ และทราบได้ที่กลไกการไถลสามารถเกิดได้ง่าย (เช่นในโลหะบริสุทธิ์) การคีบก็จะถูกควบคุมโดยการปืนของดิสโลเคชัน

3. Regime III ขอบเขตความคีนต่ำ กลไกการคีบเกิดจากการแพร่ซึ่งเกิดได้ 2 แบบคือ ใน Nabarro-Herring Creep การแพร่ของว่าเคนซีเกิดผ่านภายในเกรนเป็นผลทำให้เกรนเกิดการยืดออกไปในทิศทางเดียวกับความคีนที่กระทำ ในกรณี  $n = 1, p = 2$  และ  $Q = Q_o$  ใน Coble Creep การยืดออกของเกรนเป็นผลมาจากการแพร่ของว่าเคนซีไปตามบริเวณขอบเกรน ทำให้  $n = 1, p = 2$  และ  $Q = 0.6Q_o$  ทั้งสองกลไกที่กล่าวมา การไหลดของว่าเ肯ซีเกิดขึ้นจากบริเวณขอบเกรนที่ตั้งฉากกับทิศทางความคีน ไปยังขอบเกรนที่ขนานกับทิศทางความคีน นอกจากนี้แล้วโลหะหลายชนิดพบว่าเกิดกลไกการคีบที่เรียกว่า Harper-Dorn Creep ซึ่งทำให้  $n = 1$  แต่  $p = 0$

ในทุก Regime ที่กล่าวมานี้สามารถเกิดกลไกการเลื่อนไถลงของขอบเกรน (Grain-Boundary Sliding) ได้ ในโลหะที่เกรนหยาบ กลไกการเลื่อนไถลงของขอบเกรนทำให้เกิดความเครียดรวม (Total Strain) ในปริมาณที่น้อยมาก แต่สามารถทำให้เกิดการพิบัติจากการคีบระหว่างเกรน (Intergranular Creep Fracture) ได้ ในโลหะที่มีเกรนขนาดละเอียดมากเท่านั้นที่กลไกการเลื่อนไถลงของขอบเกรนจะเป็นส่วนสำคัญที่ทำให้เกิดการเดียรูปมาก (Superplasticity) ในกรณี  $n = 2$

โลหะผสมชนิดสารละลายของเหล็กชนิด A (Class A Alloy) อัตราการคีบขึ้นอยู่กับการเปลี่ยนแปลงความคีนค่อนข้างมาก ขอบเขตของการคีบแบ่งเป็นพื้นที่ต่างๆ ตามระดับของความคีน ดังแสดงในรูปที่ 1.11

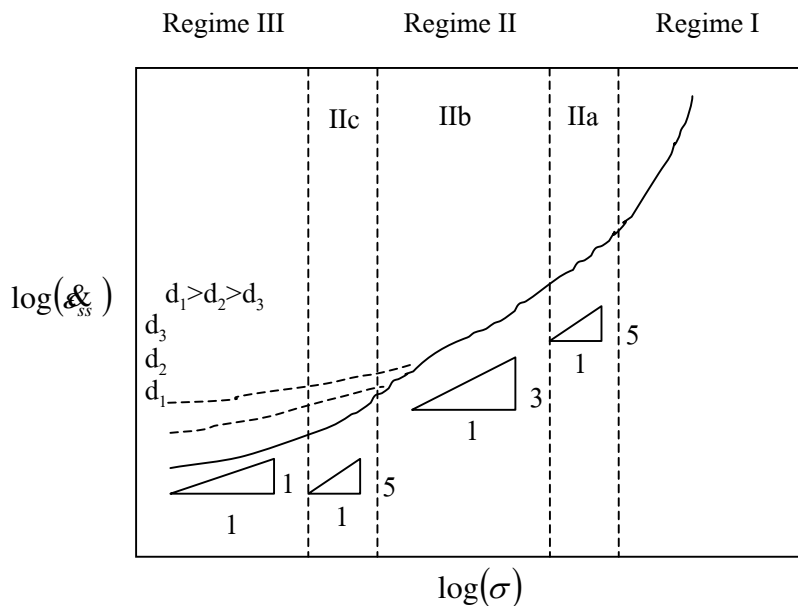
1. Regime I ขอบเขตที่ค่าความคีนสูง  $n$  จะมีค่าสูงมาก ( $n > 7-8$ ) เรียกบริเวณนี้ว่า Power-Law Breakdown

2. Regime IIa ขอบเขตที่ค่าความคีนสูงถึงปานกลาง การคีบถูกควบคุมโดยการปืนของดิสโลเคชัน (Dislocation Climb)  $n = 4-5, Q_c = Q_o$

3. Regime IIb ขอบเขตที่ค่าความคีนปานกลาง การคีบถูกควบคุมโดยการเลื่อนไถลงของดิสโลเคชันตัดผ่านกลุ่มอะตอมของชาตุตัวเติมในสารละลายของเหล็กหรือที่เรียกว่า Viscous Drag ในขอบเขตนี้การปืนของดิสโลเคชันจะเร็วกว่าการเลื่อนไถทำให้  $n = 3, p = 0$ , และ  $Q_c = Q_o$

4. Regime IIc ขอบเขตที่ค่าความคีนปานกลาง การคีบถูกควบคุมโดยการปืน  $n = 4-5, Q_c = Q_o$

5. Regime III ขอบเขตที่ค่าความคีนต่ำ เป็นขอบเขตที่เกิดการแพร่อย่างเดียวหรือขอบเขตที่เกิดการคีบแบบ Harper-Dorn Creep



รูปที่ 1.11 กราฟแสดงความสัมพันธ์ระหว่าง  $\log(\sigma)$  และ  $\log(\dot{\epsilon}_{ss})$  ของโลหะผสมชนิด สารละลายของแข็งชนิด A (Class A Alloy) [Spigarelli, 1999]

กลไกการคีบในโลหะผสมชนิด A เกิดจากการเลื่อนไอลและการปืนของดิสโลเกชันที่เกิดขึ้นเป็นลำดับ เช่นเดียวกันกับที่เกิดขึ้นในโลหะบริสุทธิ์ ในพื้นที่ IIc การปืนเป็นกลไกที่ชาที่สุดและเป็นตัวควบคุมอัตราการคีบ เมื่อความคีนกระทำเพิ่มสูงขึ้นกลไกการปืนของดิสโลเกชันจะเร็วขึ้นเรื่อยๆ และกลไก Viscous Drag จะเป็นกลไกที่ชาที่สุด (Regime IIb) ส่วนใน Regime IIa ความคีนกระทำสูงมากพอที่จะทำให้ดิสโลเกชันตัดผ่านอะตอมของธาตุเติม (Solute-Atoms) และสามารถเลื่อนไอลไปได้ง่าย

ที่ได้กล่าวมาแล้วข้างต้นเป็นข้อแตกต่างระหว่างกลไกการคีบที่เกิดขึ้นในโลหะบริสุทธิ์และโลหะผสมชนิด M กับกลไกการคีบในโลหะผสมชนิดสารละลายของแข็งชนิด A นอกนี้แล้ว ยังพบว่าการเปลี่ยนแปลงของโครงสร้างจุลภาคระหว่างการคีบในโลหะทั้งสองกลุ่มนี้ แตกต่างกันด้วยเช่นกัน ในโลหะผสมชนิด M จะเกิดการคีบในช่วงต้นแบบปกติ (Normal Primary Creep) ดังแสดงในรูปที่ 1.4 การคีบช่วงต้นแบบปกติจะเกี่ยวข้องกับการจัดเรียงตัวกันใหม่ของดิสโลเกชันทำให้เกิดโครงสร้างจุลภาคที่เรียกว่า Subgrains แต่ในโลหะผสมชนิด A การกระจายของดิสโลเกชันในช่วงการคีบระยะแรกจะยังคงสม่ำเสมอ การคีบระยะแรกจะมีช่วงสั้นและอัตราการ

คีบจะเพิ่มขึ้นแทนที่จะลดลงเมื่อเวลาการคีบเพิ่มขึ้น  
เรียกว่า (Inverted Primary Creep)

### 1.3 การตรวจเอกสารและงานวิจัยที่เกี่ยวข้อง

Deveikis (1957) ได้ศึกษาความแข็งแรงกด (Compressive Strength) และทดสอบการคีบ (Creep Test) ของโลหะอะลูมิเนียมพสมเกรด 7075-T6 ชนิดแผ่นหนา 0.0625 นิ้ว โดยทำการเปลี่ยนค่าอัตราส่วนความกว้างต่อความหนาของชิ้นทดสอบในช่วงระหว่าง 15-60 ทำการทดสอบความแข็งแรงกด ที่อุณหภูมิห้องถึง  $600^{\circ}\text{F}$  และทดสอบการคีบที่อุณหภูมิระหว่าง  $350-500^{\circ}\text{F}$  เมื่อเปรียบเทียบผลการทดลองของโลหะอะลูมิเนียมพสมเกรด 7075-T6 กับอะลูมิเนียมพสมเกรด 2024-T3 ที่มีศักยภาพมาก่อนหน้านี้ พบว่าอะลูมิเนียมพสมเกรด 7075-T6 และ 2024-T3 มีความแข็งแรงดีเยี่ยมพอกันเมื่อทดสอบที่อุณหภูมิ  $375^{\circ}\text{F}$  เป็นเวลา 0.5 ชั่วโมง เมื่ออุณหภูมิสูงกว่า  $400^{\circ}\text{F}$  พบว่าอะลูมิเนียมพสมเกรด 2024-T3 ทนต่อความเค้นที่กำหนดได้นานกว่า 7075-T6

Soliman and Mohamed (1983) ทำการศึกษาพฤติกรรมการคีบของอะลูมิเนียมพสมสังกะสี 10% โดยทำการทดลองที่อุณหภูมิระหว่าง 573-800 K ค่า Shear Stress,  $T/G$  มีค่าตั้งแต่  $10^{-6}-10^{-3}$  ผลการทดสอบพบว่าการเปลี่ยนรูปเกิดขึ้น 4 ช่วง คือ ขอบเขต I ความเค้นต่ำมากๆ (Very Low Stresses) เป็นพฤติกรรมการคีบแบบ Harper-Dorn Creep,  $n = 1$  ขอบเขต II ความเค้นต่ำ (Low Stresses)  $n$  มีค่าประมาณ 4.5 และการคีบถูกควบคุมโดย Dislocation Climb ขอบเขต III ความเค้นปานกลาง (Intermediate Stresses) เกิด Viscous Glide,  $n = 3$  และขอบเขต IV ความเค้นสูง (High Stresses)  $n$  มีค่าเท่ากับ 5

Kloc, et al. (1997) ทำการทดลองการคีบของโลหะอะลูมิเนียมพสมชนิดผง (PM) เกรด 2024 ภายใต้สภาวะการะโหลดคงที่ (Constant Load) ทดสอบที่อุณหภูมิห้อง ที่ความเค้นระหว่าง 25-50 MPa และช่วงอุณหภูมิระหว่าง 523-603 K ขณะทำการทดสอบที่อุณหภูมิสูงเป็นเวลานาน พบว่ามีอนุภาคของ  $\text{Al}_2\text{Cu}$  และ  $\text{Al}_2\text{CuMg}$  ขนาดละเอียดเกิดขึ้น  $n$  มีค่าประมาณ 5 และพลังงานกระตุ้น (Activation Energy,  $Q$ ) มีค่าใกล้เคียงกับค่า Lattice Self-Diffusion ของอะลูมิเนียมบริสุทธิ์

Li, Nutt and Mohamed (1997) ได้ทำการศึกษาพฤติกรรมการคีบและการเปลี่ยนแปลงโครงสร้างจุลภาค (Substructures) ของอะลูมิเนียมพสมชนิดผง (PM) เกรด 2124 ในช่วงอุณหภูมิระหว่าง 618-678 K โดยวิธี Uninterrupted Test และ Stress Increase Test และตรวจสอบโครงสร้างจุลภาคโดยกล้องจุลทรรศน์แบบส่องผ่าน (TEM) ผลการทดสอบการคีบซึ่งครอบคลุม

อัตราการคีบ & ระหว่าง  $10^{-9}$  ถึง  $10^{-1} \text{ s}^{-1}$  พนว่ามีค่า Stress Exponent,  $n$  ประมาณ 5 และพลังงานกระตุ้น (Activation Energy,  $Q_c$ ) มีค่าเท่ากับ  $142 \text{ kJ mol}^{-1}$  ซึ่งเกิดจากการแพร่ในตัวอะลูมิเนียมเอง (Self-Diffusion) จากการวิเคราะห์ข้อมูลการคีบพบว่าความแข็งแรงของการคีบเพิ่มขึ้นและจากผลการวิเคราะห์โครงสร้างจุลภาคพบว่าความแข็งแรงที่เพิ่มขึ้นมีความสัมพันธ์กับการเคลื่อนที่ตัดกันของดิสโลเคชัน (Dislocation) กับอนุภาคอะลูมินา (Alumina Particle) ในเนื้ออะลูมิเนียมผสมเกรด 2124 อัตราการคีบในช่วง Transient Region ภายหลังการเพิ่มความคืบอย่างทันทีทันใดจะมีค่ามากกว่าช่วง Steady-State และเกิดเกรนย่อย (Subgrains) ขนาด  $1.8 \mu\text{m} \pm 2 \mu\text{m}$  ที่  $\tau = 28 \text{ MPa}$  อย่างสม่ำเสมอในโครงสร้างจุลภาค

Wang, Wu and Xia (1997) ได้ทำการศึกษาอะลูมิเนียมผสม (Al-Cu-Mg-Ag) ด้วยวิธีการทดสอบการคีบด้วยแรงดึงคงที่ และที่อุณหภูมิ  $150, 180$  และ  $210^\circ\text{C}$  จากผลการทดลองพบว่าค่า  $n$  มีค่าเฉลี่ยประมาณ 12.5 ค่าความคืบที่เพิ่มขึ้นเกิดจากการตัดกันของดิสโลเคชันกับอนุภาคอะลูมินาและพรีซิพิเตต (Precipitate) จึงเป็นเหตุให้ค่า  $n$  มีค่ามากขึ้นด้วย และพลังงานกระตุ้นสำหรับการคีบ (Activation Energy for Creep,  $Q_c$ ) มีค่าประมาณ  $152 \text{ kJ mol}^{-1}$  ซึ่งเกิดจากการแพร่ภายในโครงสร้างอะลูมิเนียมผสม

Eddahbi, Carreno and Ruano (1998) ได้ทำการศึกษาพฤติกรรมของโลหะผสมอะลูมิเนียม-ลิเทียม (8090) โดยการทดสอบแรงดึงที่อุณหภูมิระหว่าง  $290$ - $590^\circ\text{C}$  และ Strain Rate ระหว่าง  $1 \times 10^{-4}$  -  $0.8 \text{ s}^{-1}$  และก่อนทำการทดสอบอุ่นแซ่ช์ที่ทดสอบไว้เป็นเวลา 20 นาที ผลจากการทดสอบพบว่าโครงสร้างของอะลูมิเนียม-ลิเทียม ที่มีลักษณะเกรนหยาบและยาว ที่อุณหภูมิ  $550^\circ\text{C}$  และ Strain Rate  $0.8 \text{ s}^{-1}$  เกิดการเปลี่ยนรูปของโครงสร้างเป็นแบบ Equiaxed ตามแนวการดึง และจากการสังเกตเส้นกราฟที่  $0.8 \text{ s}^{-1}$  อยู่ในช่วงอุณหภูมิ  $370$ - $570^\circ\text{C}$  จะเกิดกระบวนการ Dynamic Recrystallization ขึ้นระหว่างการเปลี่ยนรูปเป็นผลให้เกิดเกรนละเอียด Stress Exponent,  $n$  มีค่าประมาณ 5 ค่าพลังงานกระตุ้น (Activation Energy for Deformation) เท่ากับ  $157 \text{ kJ mol}^{-1}$  กลไกการคีบเป็นแบบดิสโลเคชัน (Dislocation Creep)

Spigarelli, et al. (2002) ได้ทำการทดลองการคีบโลหะอะลูมิเนียมผสมชนิดผง (PM) เกรด 2024 เสริมแรงด้วยอนุภาคของ SiC 15% ภายใต้สภาวะการแรงคงที่ (Constant Load) อุณหภูมิระหว่าง  $548$ - $603 \text{ K}$  ผลจากการทดลองพบว่ากลไกการคีบถูกควบคุมโดยการปืนของดิสโลเคชันภายใต้อุณหภูมิ  $548 \text{ K}$  และพลังงานกระตุ้น (Activation Energy,  $Q_c$ ) มีค่าใกล้เคียงกับค่า Lattice Self-Diffusion ของอะลูมิเนียมบริสุทธิ์

Kaibyshev, et al. (2002) ศึกษาพฤติกรรมการเสียรูปของอะลูมิเนียมผสมเกรด 2219 โดยการทำให้โครงสร้างเป็นเนื้อเดียวกันที่  $530^\circ\text{C}$  เป็นเวลา 6 ชั่วโมง และให้เย็นตัวอย่างช้าๆ

ภายในเตา มีขนาดเกรนประมาณ  $120 \mu\text{m}$  ขนาดเส้นผ่านศูนย์กลางชิ้นทดสอบ 9 มม. ความสูง 11 มม. ทำการทดสอบโดยการกดที่ความเร็วของ Crosshead คงที่ ช่วงอุณหภูมิทดสอบระหว่าง  $250-500^\circ\text{C}$  พบว่าในช่วงอุณหภูมิระหว่าง  $250-450^\circ\text{C}$  Stress Exponent,  $n$  มีค่าประมาณ 7 และพลังงานกระตุ้น (Activation Energy) มีค่าประมาณ  $90 \text{ kJ mol}^{-1}$  ที่อุณหภูมิ  $500^\circ\text{C}$  Stress Exponent,  $n$  มีค่าเท่ากับ 5 และค่าพลังงานกระตุ้น (Activation Energy) เท่ากับ  $143 \text{ kJ mol}^{-1}$  ค่าความคื้นขึ้นอยู่กับอุณหภูมิเป็นอย่างมาก ในช่วงอุณหภูมิระหว่าง  $250-450^\circ\text{C}$   $Q_a$  มีค่าประมาณ  $35 \text{ kJ mol}^{-1}$  และจะลดลงเมื่ออุณหภูมิสูงขึ้น และสรุปว่าการลดอุณหภูมิต่ำลงและเพิ่มอัตราความเครียดสูงขึ้นจะทำให้เกิดกลไกการเดือนไถลของคิสโลเคลชัน (Dislocation Glide) การเพิ่มอุณหภูมิให้สูงขึ้นทำให้เกิด Cross-Slip และทำให้เกิดไถลเดือนไถลจาก Multiple Slip ไปเป็น Single Slip

Jenabali Jahromi (2002) ทำการศึกษาพัฒนาระบบของการคีบของอะลูมิเนียมผสมเกรด SS70 (Al-Zn-Mg-Cu-Zr) และอะลูมิเนียมผสมความแข็งแรงสูงเกรด 7075 เพื่อทำการเปรียบเทียบสมบัติเชิงกลของโลหะผสมทั้งสองชนิด โดยทำการทดสอบการคีบที่ความคื้น 200-360 MPa และที่ภาวะอุณหภูมิคงที่ (Constant Temperature) ที่  $120^\circ\text{C}$  จากผลการทดสอบสมบัติเชิงกลของวัสดุทั้งสองชนิดพบว่าอะลูมิเนียมเกรด SS70 ที่มีส่วนผสมของ Zr และ Mn ทำให้อัตราการคีบมีค่าต่ำกว่าอะลูมิเนียมผสมเกรด 7075 ซึ่งเป็นผลจากการกระจายตัวของพริซิพิเตต (Precipitate) ที่อยู่ในเนื้อโลหะผสมขัดขวางการเคลื่อนที่ของคิสโลเคลชันและเกิดการแพร่ขึ้นในระดับต่ำ ๆ อุณหภูมิที่ทดสอบ

Spigarelli, et al. (2002) ได้ทำการศึกษาการคีบของอะลูมิเนียมผสม Al-17%Si-1%Mg-0.7%Cu ที่อุณหภูมิระหว่าง  $280-380^\circ\text{C}$  พบว่า Primary Creep มีช่วงสั้น ช่วง Minimum Creep Rate และ Tertiary Creep ยาวขึ้น ซึ่งช่วงของ Minimum Creep Rate ที่เกิดขึ้นมีลักษณะคล้ายกับวัสดุผสมอะลูมิเนียมเกรด 6061 เสริมแรงดึงอนุภาค  $\text{Al}_2\text{O}_3$  ประมาณ 20% (MMCs) พบว่าอะลูมิเนียมผสม Al-17%Si-1%Mg-0.7%Cu มีความแข็งแรงสูงเนื่องจากการตัดกันของคิสโลเคลชันกับอนุภาคขนาดเล็ก และอะลูมิเนียมผสม Al-17%Si-1%Mg-0.7%Cu มีความแข็งแรงการคีบมากกว่าวัสดุผสม 6061/  $\text{Al}_2\text{O}_3$

Jones, et al. (2004) ได้ทำการศึกษาพัฒนาระบบของการคีบของอะลูมิเนียมผสมเกรด 7075 ที่ช่วงอุณหภูมิ  $350-410^\circ\text{C}$  โดยใช้ค่าความคื้นแรงดึง (Tensile Stresses) ระหว่าง 1.8 และ 6.3 MPa อะลูมิเนียมผสมเกรด 7075 ตามสภาพที่รับมาเมื่อผ่านกระบวนการทางความร้อนแล้วมีขนาดเกรนเท่ากับ  $48 \mu\text{m}$  และขนาดเกรนจะโตเป็น  $78 \mu\text{m}$  ระหว่างการทดสอบการคีบ จากการทดลองพบว่าที่ความคื้นต่ำ Stress Exponent,  $n$  มีค่าเท่ากับ 1 และค่า  $n$  จะเพิ่มขึ้นเป็น 5 ที่ค่าความคื้นการคีบท่ากับ 5.0 MPa ค่าพลังงานกระตุ้นการคีบ ( $Q_a$ ) มีค่าเท่ากับ  $147 \text{ kJ mol}^{-1}$

Spigarelli, Evangelista and Cucchieri (2004) ได้ศึกษาการคีบของโลหะอะลูมิเนียมผสม Hypereutectic Al-Si Alloy 4%Cu-0.55%Mg ที่อุณหภูมิระหว่าง 553-653 K พบว่า Minimum Creep Rate แบ่งออกเป็น 2 ลักษณะคือที่ความค่านั่นต่ำ Stress Exponent,  $n$  มีค่าประมาณ 4-5 ซึ่งใกล้เคียงกับโลหะอะลูมิเนียมบริสุทธิ์ และที่ความค่านั่นสูงค่า Stress Exponent,  $n$  จะมีค่าสูงกว่า และมีค่าพลังงานحرดตันของการคีบเท่ากับ  $210 \text{ kJ mol}^{-1}$  ซึ่งมากกว่าค่า Activation Energy for Self-Diffusion,  $Q_d$  ของอะลูมิเนียมบริสุทธิ์ ( $143 \text{ kJ mol}^{-1}$ ) การคีบฉุดความคุณค่าวิกฤตไกแบบ Viscous Glide และ Climb

Xu and Langdon (2005) ได้ศึกษาการคีบของโลหะอะลูมิเนียมผสมชนิด Spray-Cast 7034 ซึ่งมีส่วนประกอบทางเคมี Al-11.5%Zn-2.5%Mg-0.9%Cu-0.2%Zr ผลิตด้วยวิธีกรรมวิธี Equal-Channel Angular Pressing (ECAP) แบบแท่งและแผ่น ที่อุณหภูมิ 473 K ขนาดเกรนมีขนาดลดลงประมาณ 2.1 ถึงประมาณ 0.3  $\mu\text{m}$  โครงสร้างจุลภาคเกิดพริชิพิต (Precipitate)  $\text{MgZn}_2$  ระหว่างการทำกรรมวิธี ECAP และเมื่ออุณหภูมิถึง 673 K เกรนจะมีขนาดลดลงอีกด้วย จากการทดสอบพบว่า เมื่อทำการทดสอบด้วยแรงดึงที่อุณหภูมิ 673 K และ Strain rate ประมาณ  $10^{-2} \text{ s}^{-1}$  ชิ้นงาน As-Pressed ยึดขนาดมีความยาวมากกว่า 1000% และการทดสอบการคีบที่อุณหภูมิ 473 K กับชิ้นงาน As-Pressed ขั้ตราการคีบเกิดเร็วชี้น์ประมาณ 2 เท่า และมากกว่าโลหะผสมที่ผ่านการเขียนรูป Stress Exponent,  $n$  มีค่าประมาณ 7 และสรุปว่ากลไกที่ควบคุมอัตราการคีบเป็นแบบ Intragranular Deformation Mechanism

#### 1.4 วัตถุประสงค์ของการทดสอบ

1.4.1 เพื่อศึกษาพฤติกรรมการคีบ (Creep Behavior) ของโลหะอะลูมิเนียมผสมที่ใช้ทำแม่พิมพ์สำหรับฉีดพลาสติก

1.4.2 เพื่อศึกษาการเปลี่ยนแปลงโครงสร้างจุลภาคของอะลูมิเนียมผสมเมื่อเกิดการคีบ

#### 1.5 ประโยชน์ที่คาดว่าจะได้รับ

1.5.1 ความรู้พื้นฐานเกี่ยวกับพฤติกรรมการคีบของอะลูมิเนียมผสม ตลอดจนตัวแปรต่างๆ ที่มีอิทธิพลต่อพฤติกรรมการคีบ ได้แก่ ความเค็นและอุณหภูมิ

1.5.2 ทราบถึงความสัมพันธ์ระหว่างการเปลี่ยนแปลงโครงสร้างจุดภาค และการคีบ เมื่ออะลูมิเนียมผสมถูกนำไปใช้งานภายใต้ความเค็นและอุณหภูมิสูง

1.5.3 ผลการวิจัยนี้จะเป็นแนวทางในการนำไปประยุกต์ใช้ในการออกแบบและเลือกใช้วัสดุให้เหมาะสมสำหรับการผลิตชิ้นงานที่ทำการอะลูมิเนียมผสมความแข็งแรงสูง

## 1.6 ขอบเขตของการวิจัย

1.6.1 ศึกษาพฤติกรรมการคีบของโลหะอะลูมิเนียมผสม เกรด 7075-T651 ที่ใช้ทำแม่พิมพ์สำหรับพิมพ์พลาสติก

1.6.2 ศึกษาอิทธิพลของตัวแปรต่างๆ ที่มีอิทธิพลต่อพฤติกรรมการคีบ ได้แก่ ความเค็นการคีบ (Creep Stress) ในช่วงระหว่าง 40 - 440 MPa และที่อุณหภูมิการคีบ (Creep Temperature) ระหว่าง 100 - 250°C

## 1.7 สถานที่ทำการวิจัย

1.7.1 ภาควิชาวิศวกรรมเหมืองแร่และวัสดุ คณะวิศวกรรมศาสตร์ มหาวิทยาลัยสงขลานครินทร์

1.7.2 ศูนย์เครื่องมือวิทยาศาสตร์ มหาวิทยาลัยสงขลานครินทร์